

1/14

FIG. 1 & 2 3090

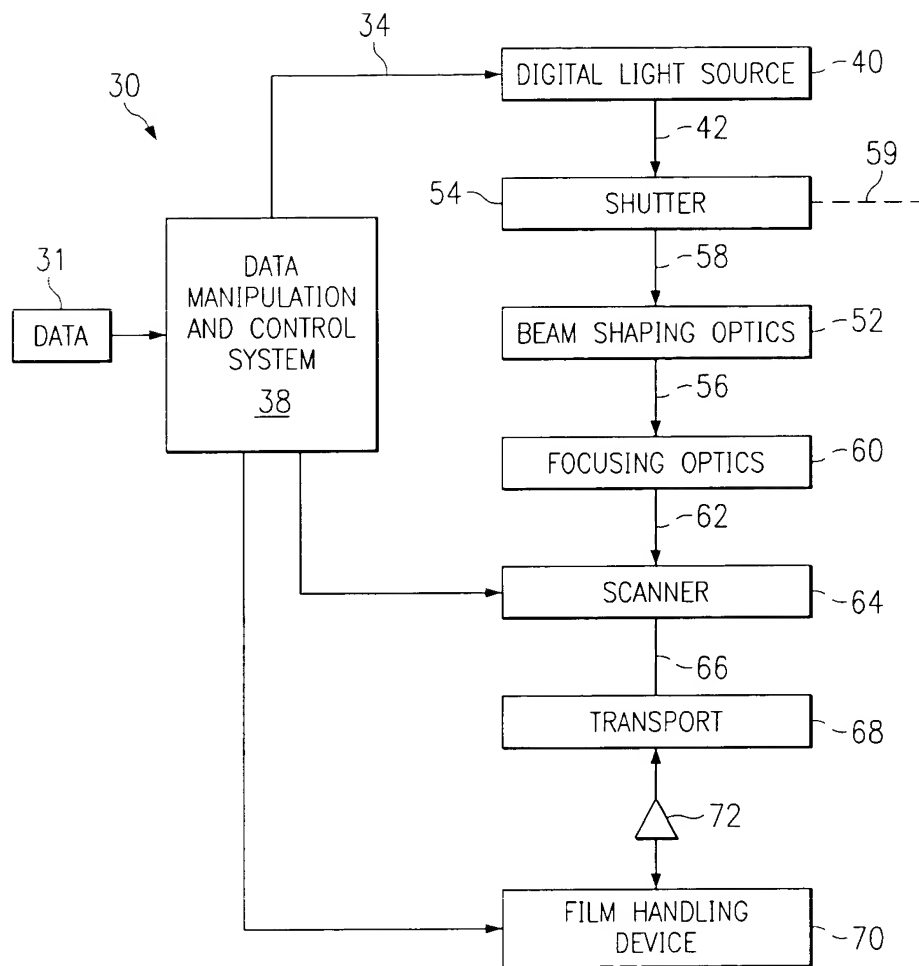
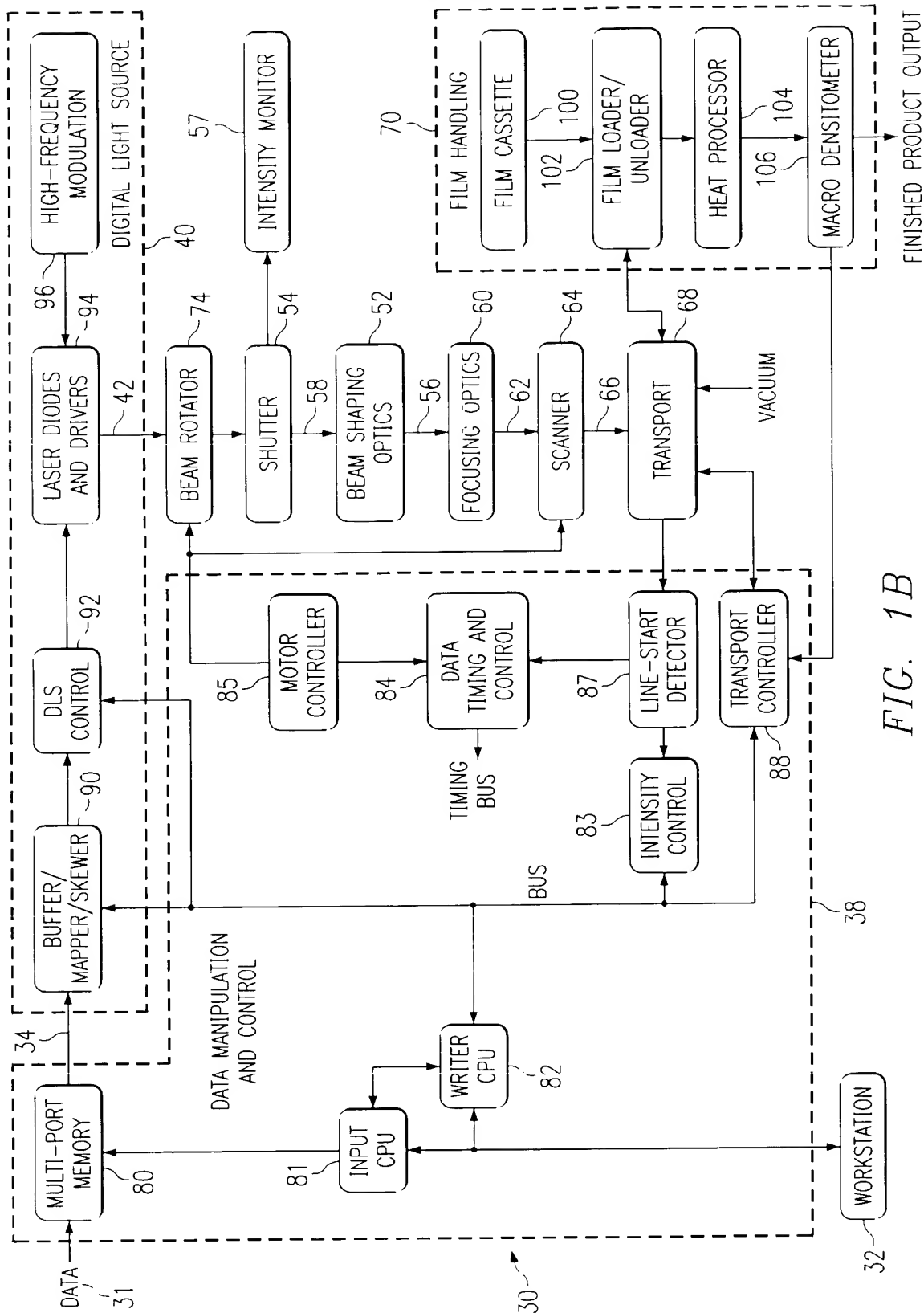


FIG. 1A

36

2/14



FIL 1 8 2000

FIG. 2

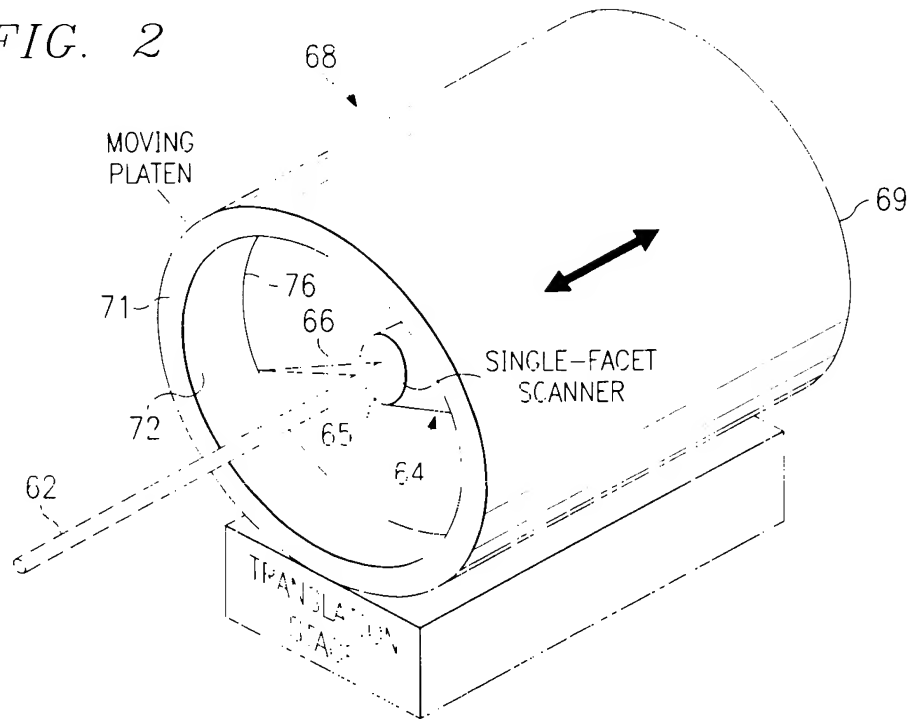
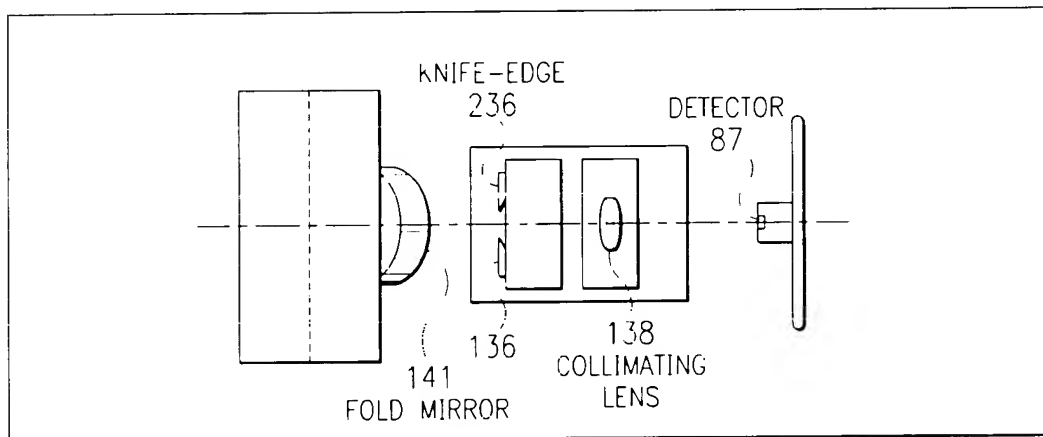
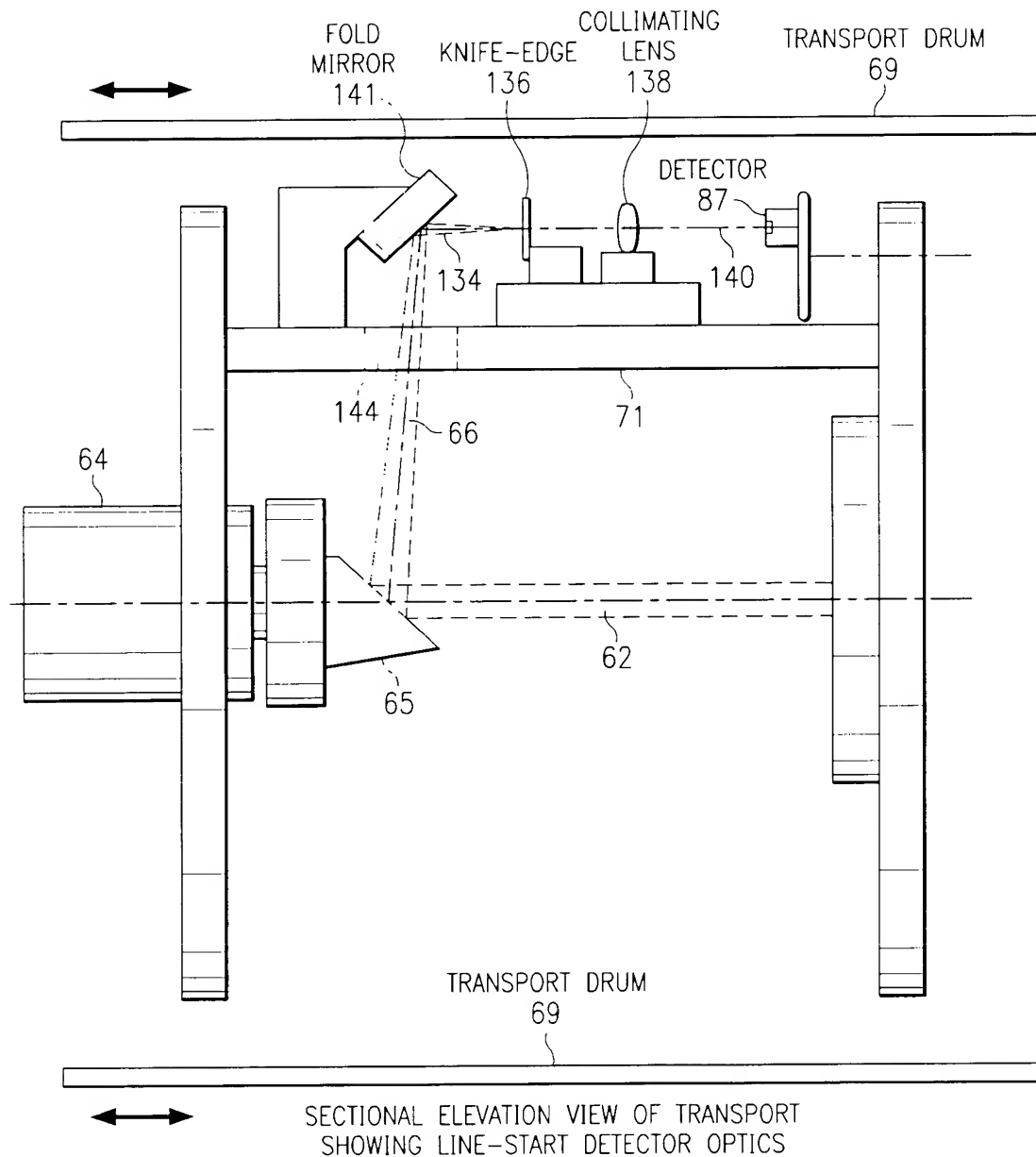


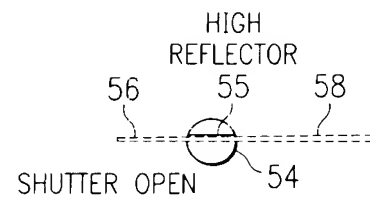
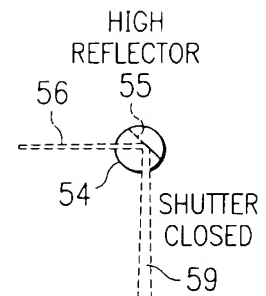
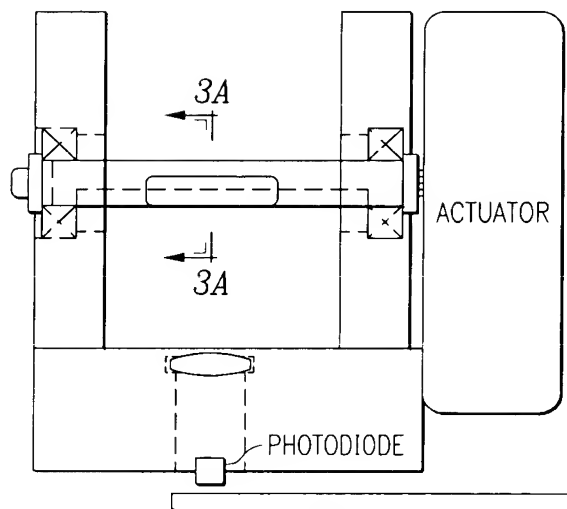
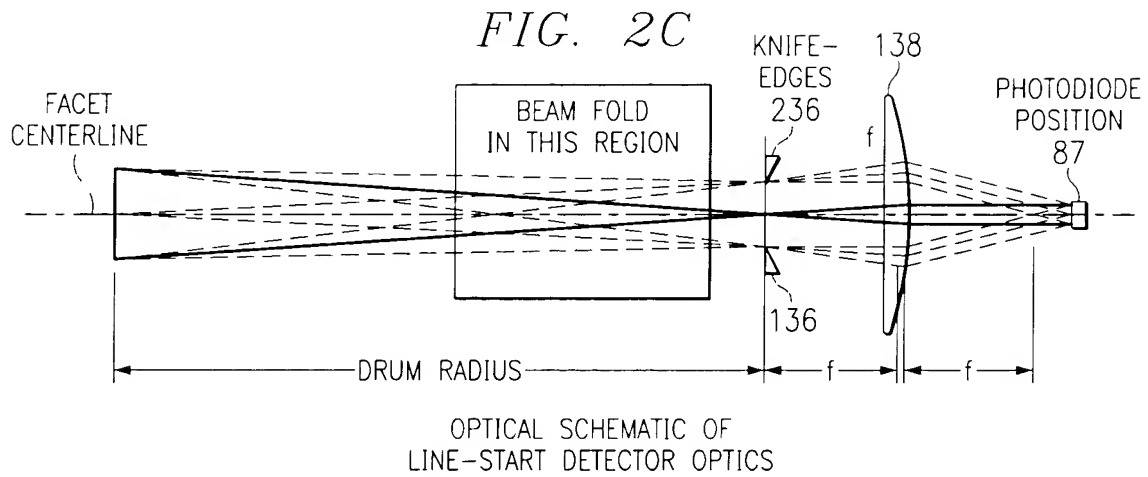
FIG. 2B



PLAN VIEW OF LINE-START
DETECTOR OPTICS

FIG. 2A





6/14

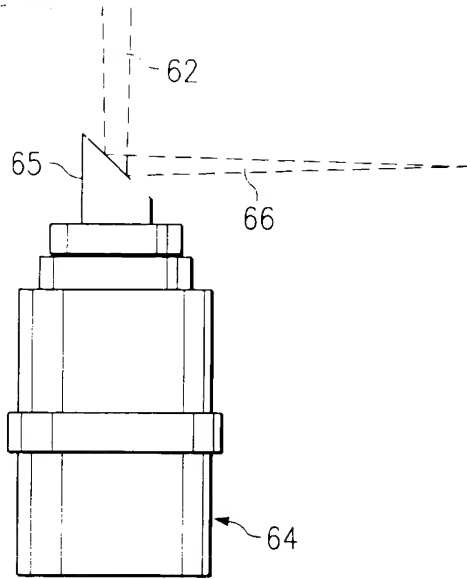


FIG. 4A

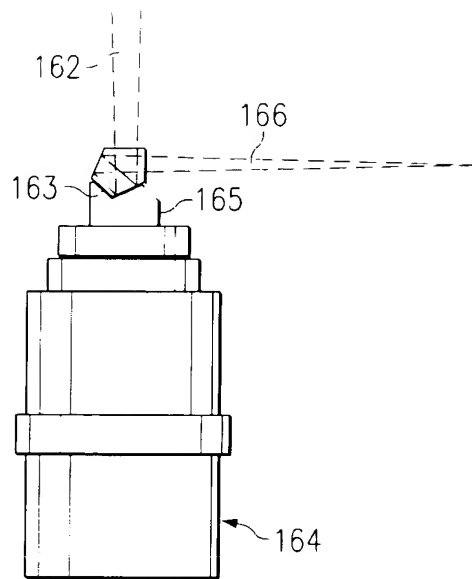


FIG. 4B

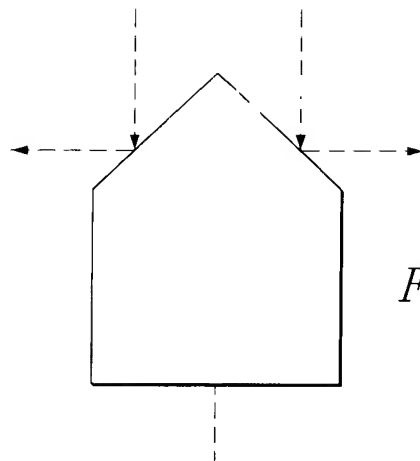


FIG. 4C

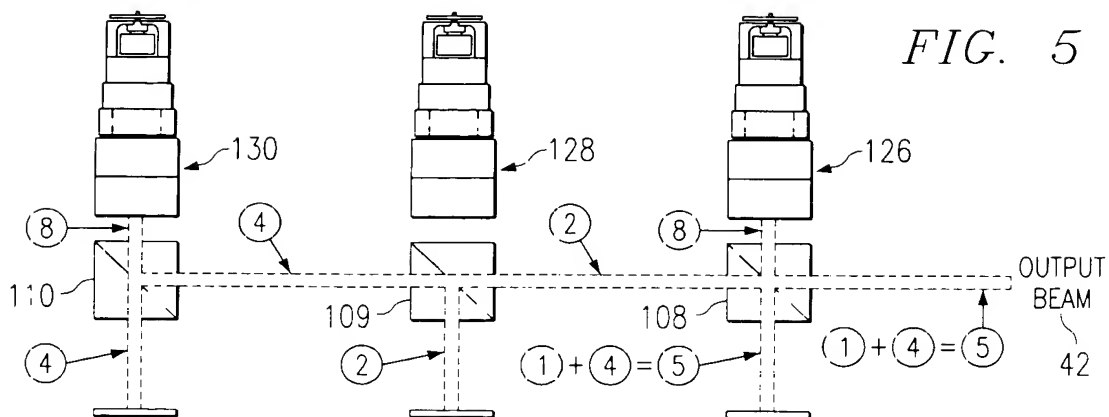


FIG. 5

7/14

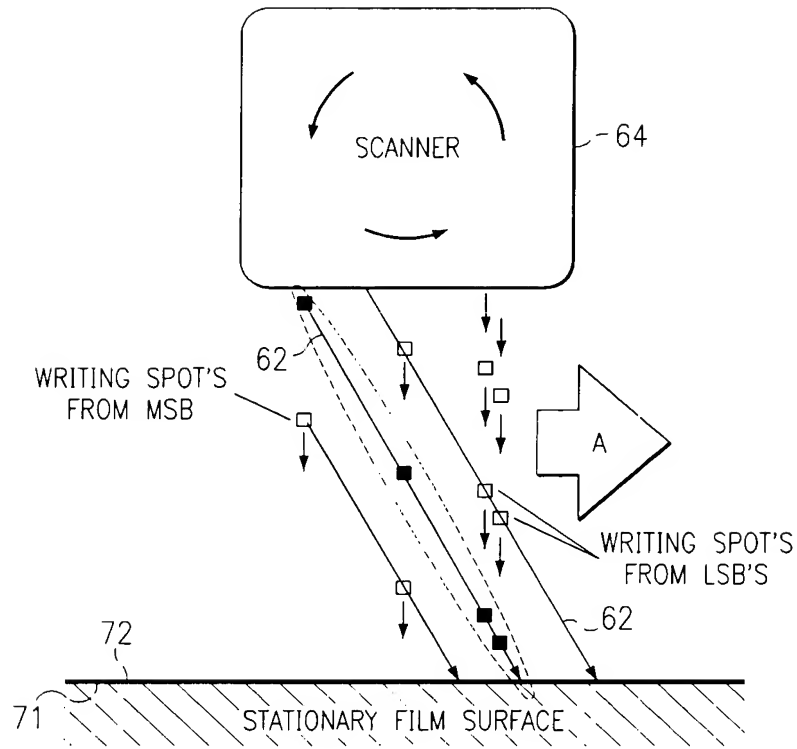


FIG. 5A

8/14

FIG. 5B

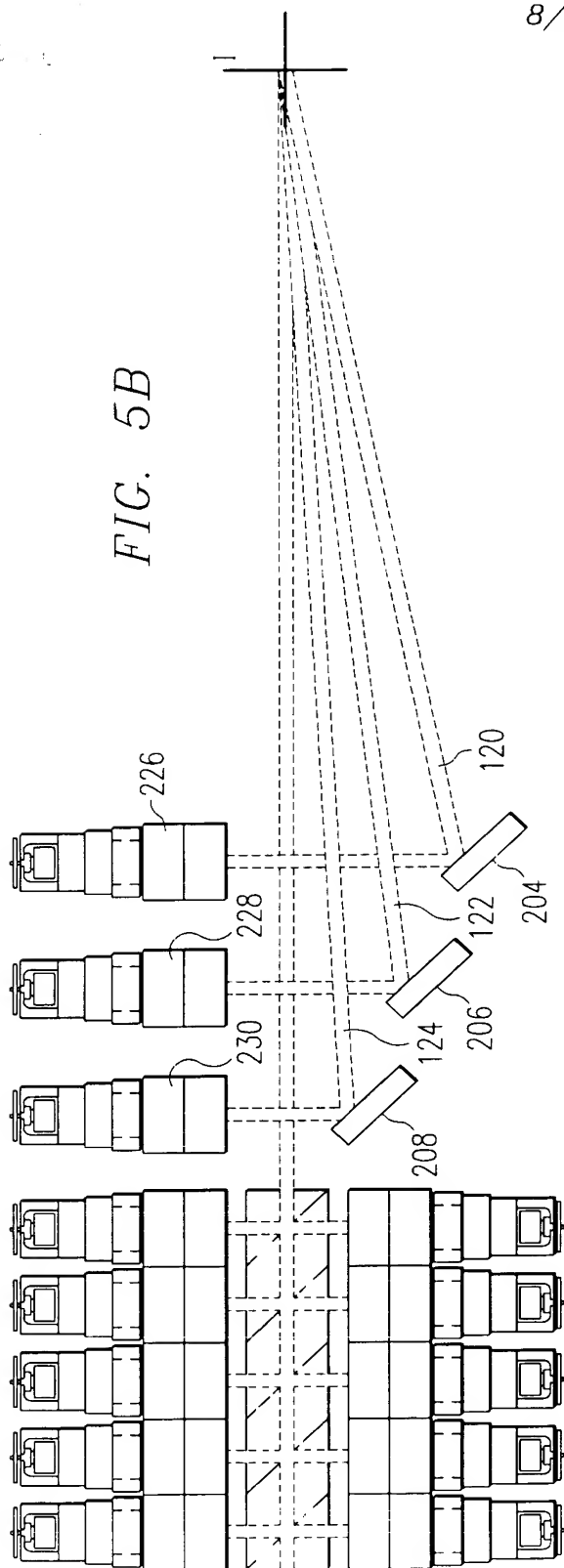
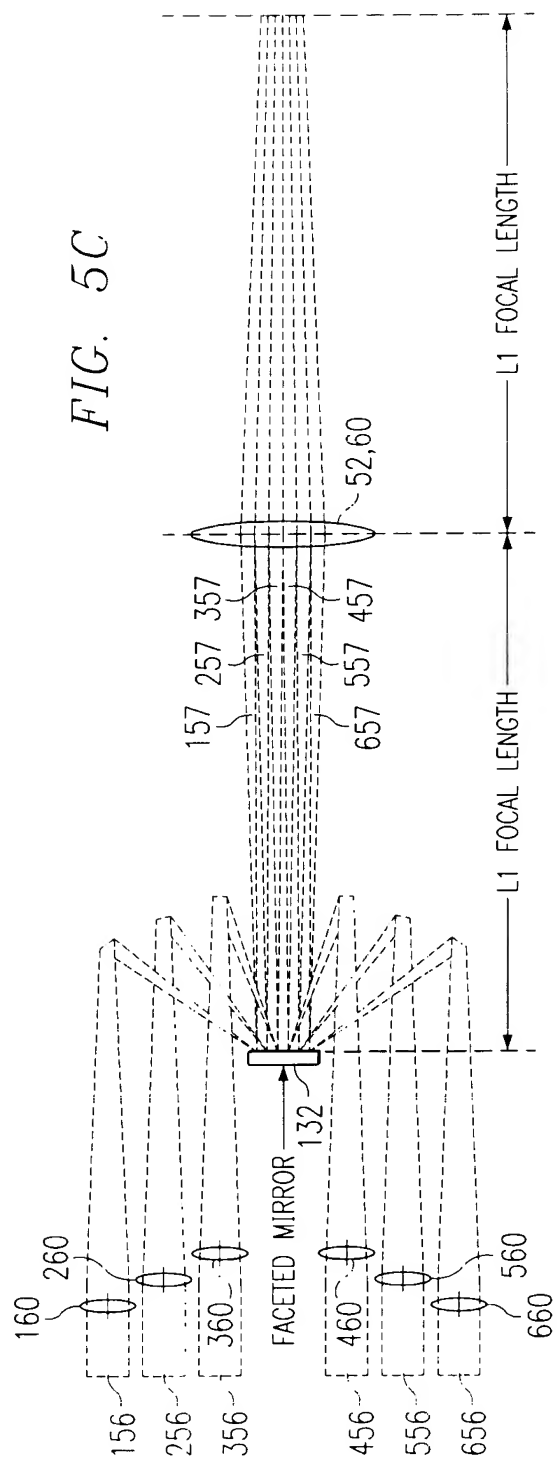


FIG. 5C



9/14

FIG. 6A

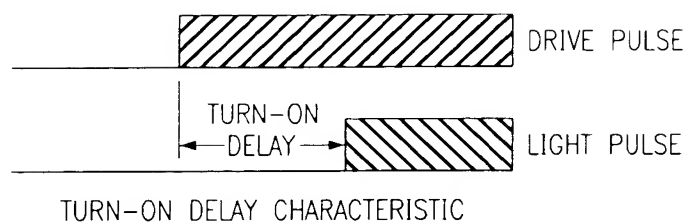


FIG. 6B

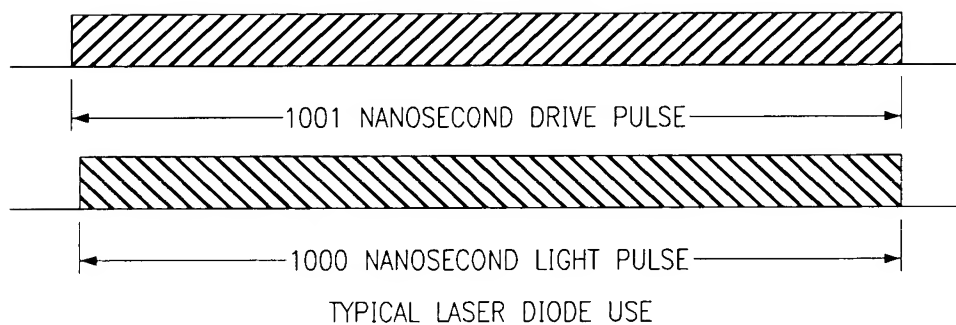


FIG. 6C

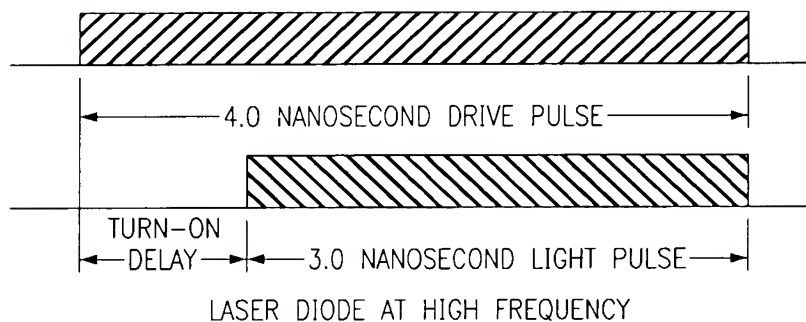
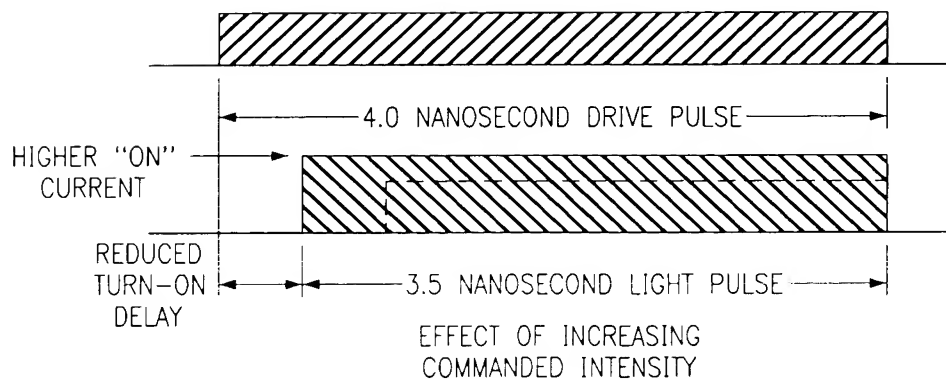


FIG. 6D



10/14

FIG. 6E

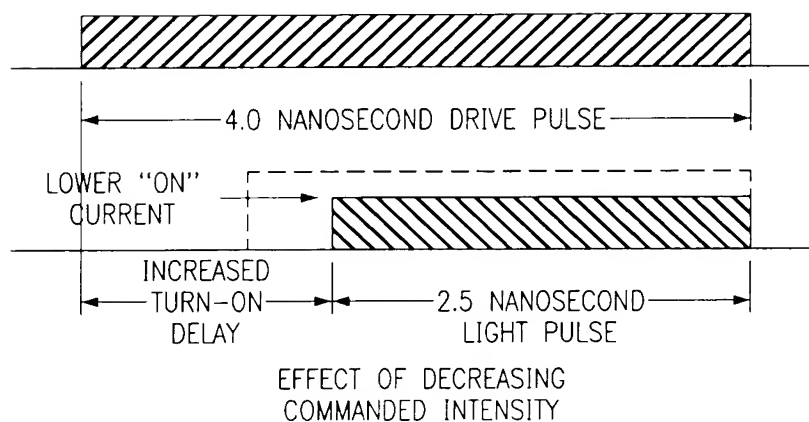


FIG. 7

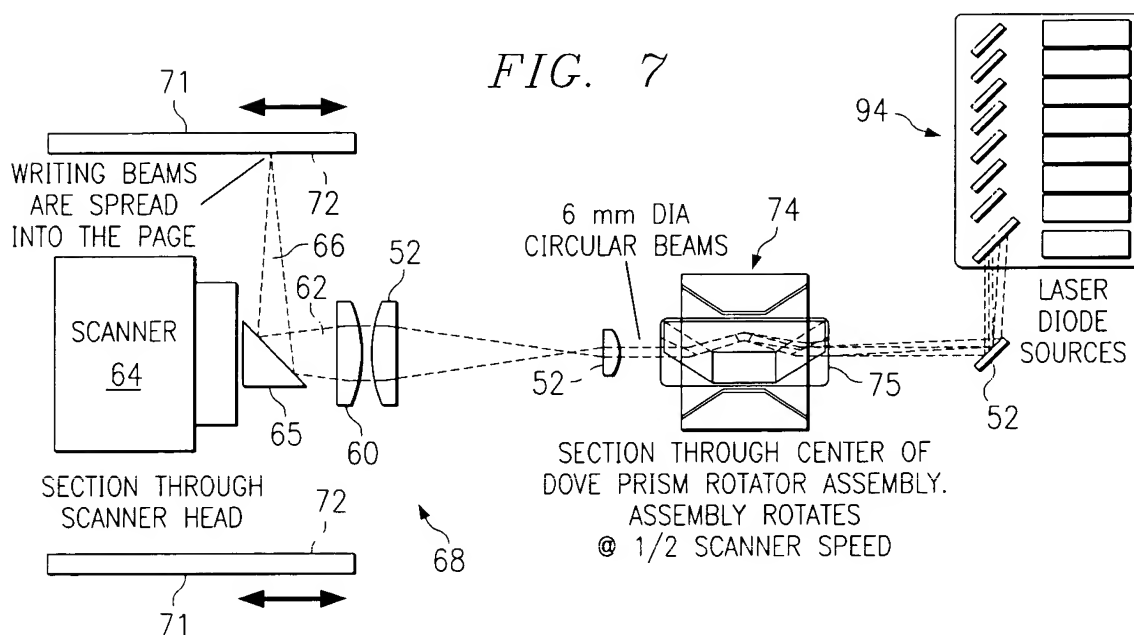


FIG. 7A



11/14

FIG. 8

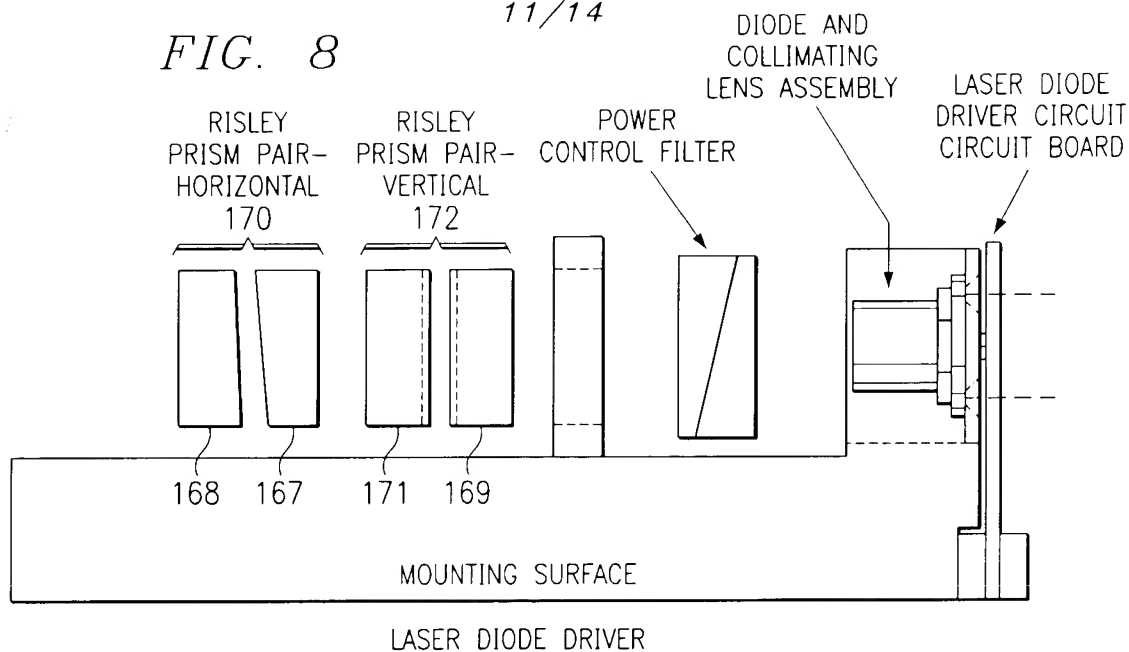


FIG. 8A

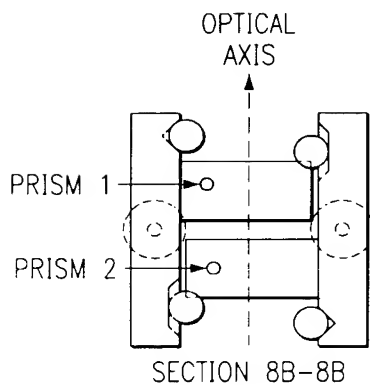
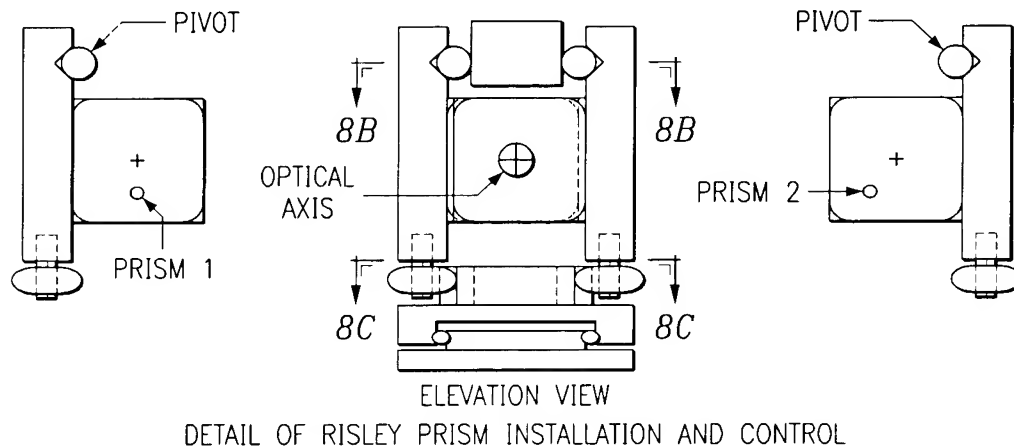


FIG. 8B

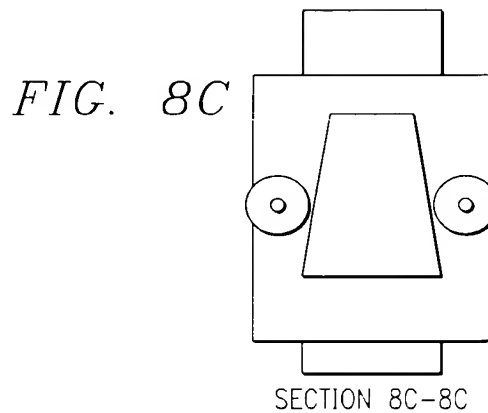
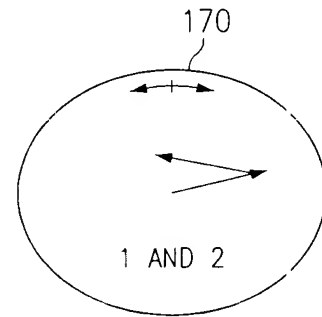
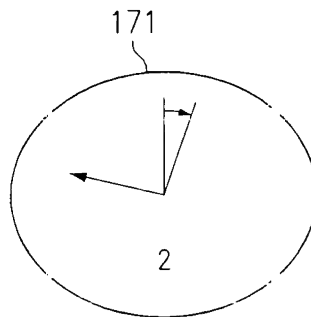
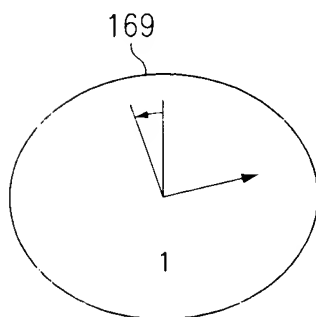
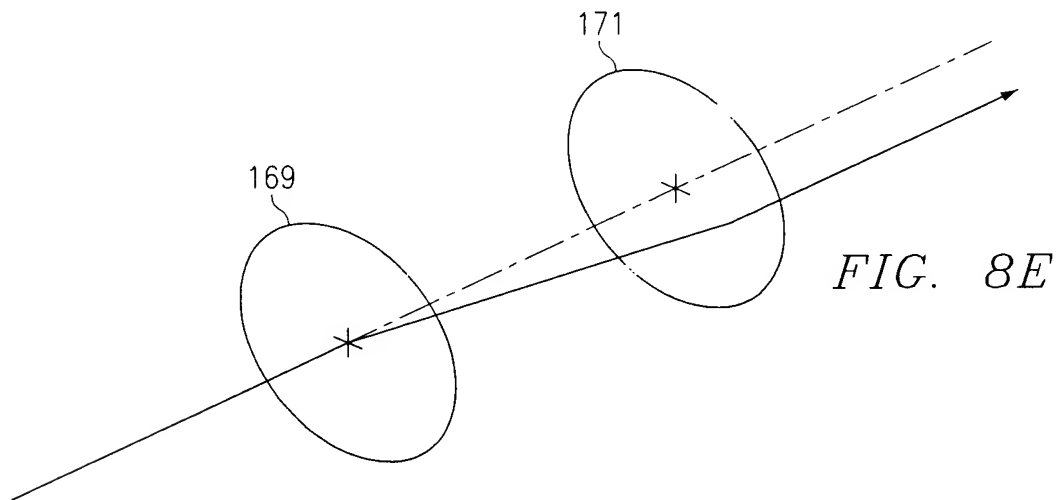
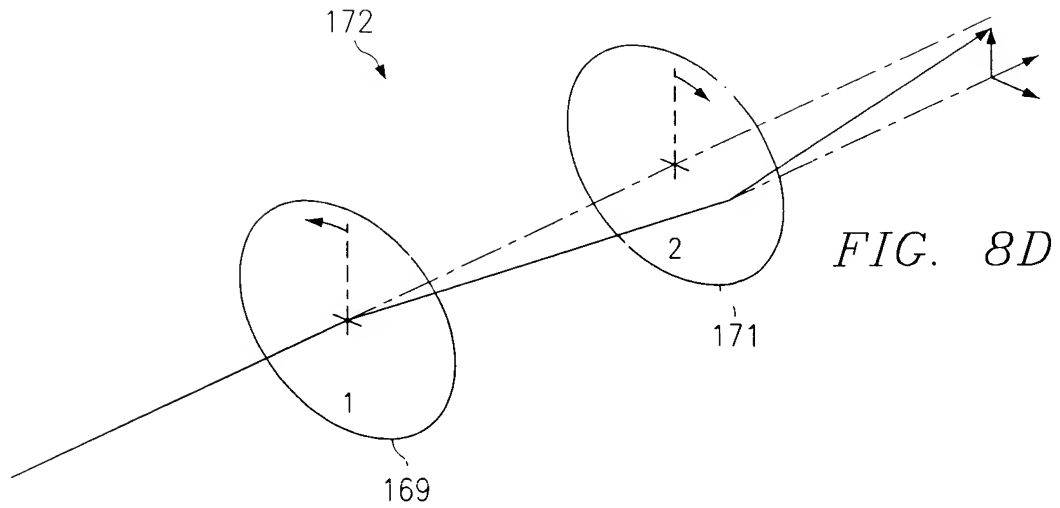


FIG. 8C

12/14



13/14

FIG. 9

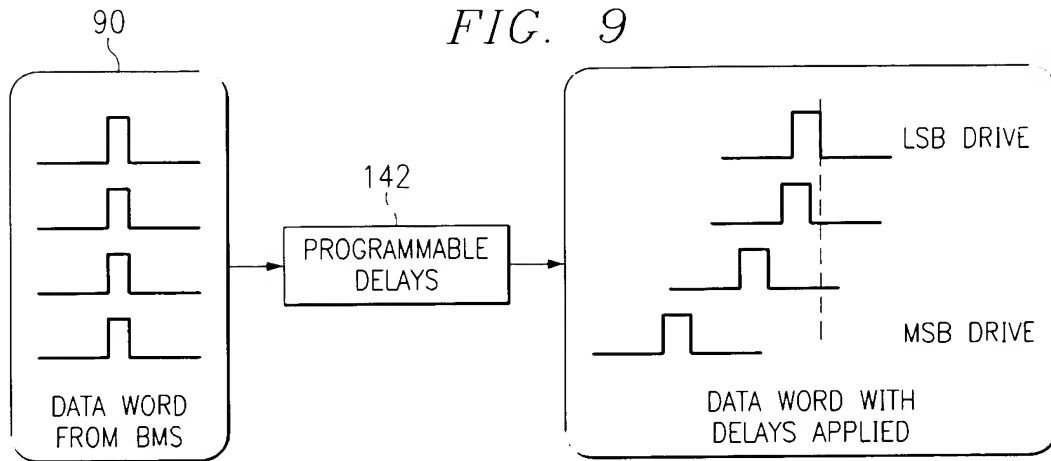


FIG. 10A

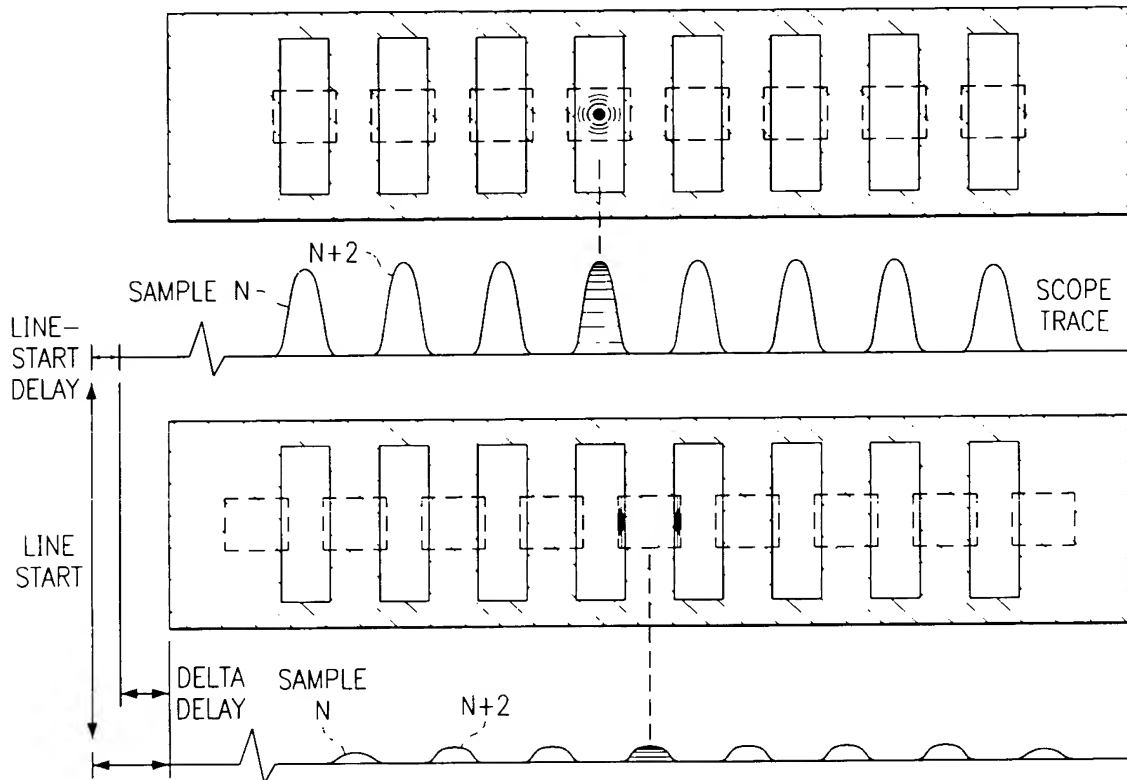


FIG. 10B

14/14

